レクチン組織染色法を用いた結膜杯細胞複合糖質の糖鎖解析

岩切 直人1),上原 文行1),大庭 紀雄1),津山新一郎2),村田 長芳2)

1) 鹿児島大学医学部眼科学教室, 2) 鹿児島大学医学部第二解剖学教室

要約

多種類のビオチン標識と螢光標識レクチンによる二重染色法および単独染色法を用いて、ヒト結膜杯細胞における 0-結合型と N-結合型の複合糖質の分布形態を検索した。0-結合型糖鎖を認識する peanut agglutinin と N-結合型糖鎖を認識する peanut agglutinin と N-結合型糖鎖を認識する $Erythrina\ cristagalli\ agglutinin は、二重染色によって同一の結膜杯細胞内部に結合した。したがって、同一の杯細胞が両方の型の糖鎖をもつ複合糖質を産生、含有していることが判明した。一方、シアル酸 <math>\alpha$ 2、3 ガラクトースを認識する Maackia

amurensis lectin II が杯細胞内部に結合したのに対し、シアル酸 α 2,6 ガラクトースを認識する Sambucus nigra agglutinin は結合しなかった。これらの所見から、ヒト結膜杯細胞の複合糖質糖鎖末端のガラクトースには、シアル酸は α 2,3 結合していることが判明した。 (日眼会誌 101:83-86,1997)

キーワード: 結膜, 杯細胞, 複合糖質, レクチン

Lectin Histochemistry of the Glycoconjugates in Conjunctival Goblet Cells

Naoto Iwakiri¹⁾, Fumiyuki Uehara¹⁾, Norio Ohba¹⁾, Shin-ichiro Tsuyama²⁾ and Fusayoshi Murata²⁾

¹⁾Department of Ophthalmology, Kagoshima University Faculty of Medicine ²⁾Department of Anatomy II, Kagoshima University Faculty of Medicine

Abstract

The distribution of O- and N-linked glycoconjugates in human conjunctival goblet cells was examined histochemically using biotinylated and fluorescence-labeled lectins simultaneously. Both peanut agglutinin and *Erythrina cristagalli* agglutinin, specific for O- and N-linked sugar chains, respectively, bound to the same goblet cell, which demonstrated that a conjunctival goblet cell produces and contains both types of glycoconjugates. *Maackia amurensis* lectin II, specific for sialic acid

 $\alpha 2$, 3 galactose, bound to the goblet cells, while Sambucus nigra agglutinin, specific for sialic acid $\alpha 2$, 6 galactose, did not. This observation suggested that the terminal galactosyl residue of the glycoconjugates is $\alpha 2$, 3-sialylated in the human conjunctival goblet cells. (J Jpn Ophthalmol Soc 101:83 -86, 1997)

Key words: Conjunctiva, Goblet cell, Glycoconjugate, Lectin

I 緒 言

結膜の杯細胞で産生・分泌される複合糖質は、涙液の維持をはじめとする種々の生理的機能の発現に関与している¹⁾.複合糖質は、その糖鎖構造の違いから大きく O-結合型と N-結合型の 2 種類に分類される。著者らは、結膜杯細胞内の複合糖質の糖鎖について、特定の糖鎖構造を認識して結合する性質を有するレクチンを用いて組織化学的に検索してきた²⁾³⁾.しかしながら、一つの杯細胞で O-

結合型とN-結合型の複合糖質がともに産生されるのか、あるいはO-結合型とN-結合型の複合糖質を、それぞれ別個に産生する異なった種類の杯細胞が存在するのかという点に関しては、未だ解明するに至っていない。網膜光受容体間基質では、O-結合型とN-結合型の複合糖質は異なった分布様式をとり、それぞれ異なった生理学的機能を担っている。すなわち、O-結合型は安定な網目状構造を形成し、視細胞と網膜色素上皮細胞の間の接着に関与しているのに対し、N-結合型は顆粒状成分として同定さ

別刷請求先:890 鹿児島県鹿児島市桜ケ丘 8-35-1 鹿児島大学医学部眼科学教室 岩切 直人 (平成 8 年 2 月 6 日受付,平成 8 年 7 月 29 日改訂受理)

Reprint requests to: Naoto Iwakiri, M.D. Department of Ophthalmology, Kagoshima University Faculty of Medicine. 8-35-1 Sakuragaoka, Kagoshima-shi, Kagoshima-ken 890, Japan (Received February 6, 1996 and accepted in revised form July 29, 1996)

れ,明・暗でその分布が変化し,両細胞間の物質輸送に関 与していることが推定されている4.結膜杯細胞におい ても,O-結合型とN-結合型の複合糖質の分布形態が異 なっている可能性があることから,それらの生理的役割 を解明するためにも,O-結合型とN-結合型の複合糖質の 結膜杯細胞内局在分布の詳細について明らかにしておく 必要がある。そこで,O-結合型糖鎖を認識するレクチン である peanut agglutinin (PNA) 5)と, N-結合型糖鎖を認 識するレクチンである Erythrina cristagalli agglutinin (ECA) 6)を,それぞれ異なった標識のものを用いて同一 結膜組織切片に反応(二重染色)させることによって、O-結合型と N-結合型の複合糖質の結膜杯細胞内局在分布 の相互関係を検索した。一方,これらのレクチンは、シア ル酸が複合糖質の糖鎖末端に存在すると,その結合が阻 害されて減弱してしまい、シアル酸を含有する複合糖質 は検出できない可能性があることから,シアル酸を認識 するレクチンを用いた組織染色も並行して実施し,実験 結果の解析を行った.

II 実験方法

翼状片手術(10例)および白内障手術(10例)の際に得 られた結膜組織を、3%グルタールアルデヒド/燐酸緩 衝液(PBS; 0.1 M, pH 7.4)を用いて浸漬固定し,アル コール脱水,パラフィン包埋した.5μm の組織切片を作 製,脱パラフィンし,0.2%過酸化水素/メタノールで内 因性 peroxidase 活性を, 2% ウシ血清アルブミンでレ クチンの非特異的吸着を抑制した。次に,10 µg/ml の濃 度になるようにリン酸緩衝生理食塩水(PBS)に溶解し たビオチン標識ピーナツ凝集素(PNA),ビオチン標識腸 内細菌共通抗原(ECA), ビオチン標識 Sambucus nigra agglutinin(SNA),あるいはビオチン標識 Maackia amurensis lectin II (MALII)を,連続する組織切片にそ れぞれ室温で1時間ずつ反応させた、PBSを用いて洗浄 した後, Vectastain Elite ABC Kit (Vector 社, Burlingame, CA, 米国)と diaminobenzidine を用いて発色さ せた.次に、これらのビオチン標識レクチンで染色した組 織切片を PBS で洗浄した後,さらに螢光標識レクチン

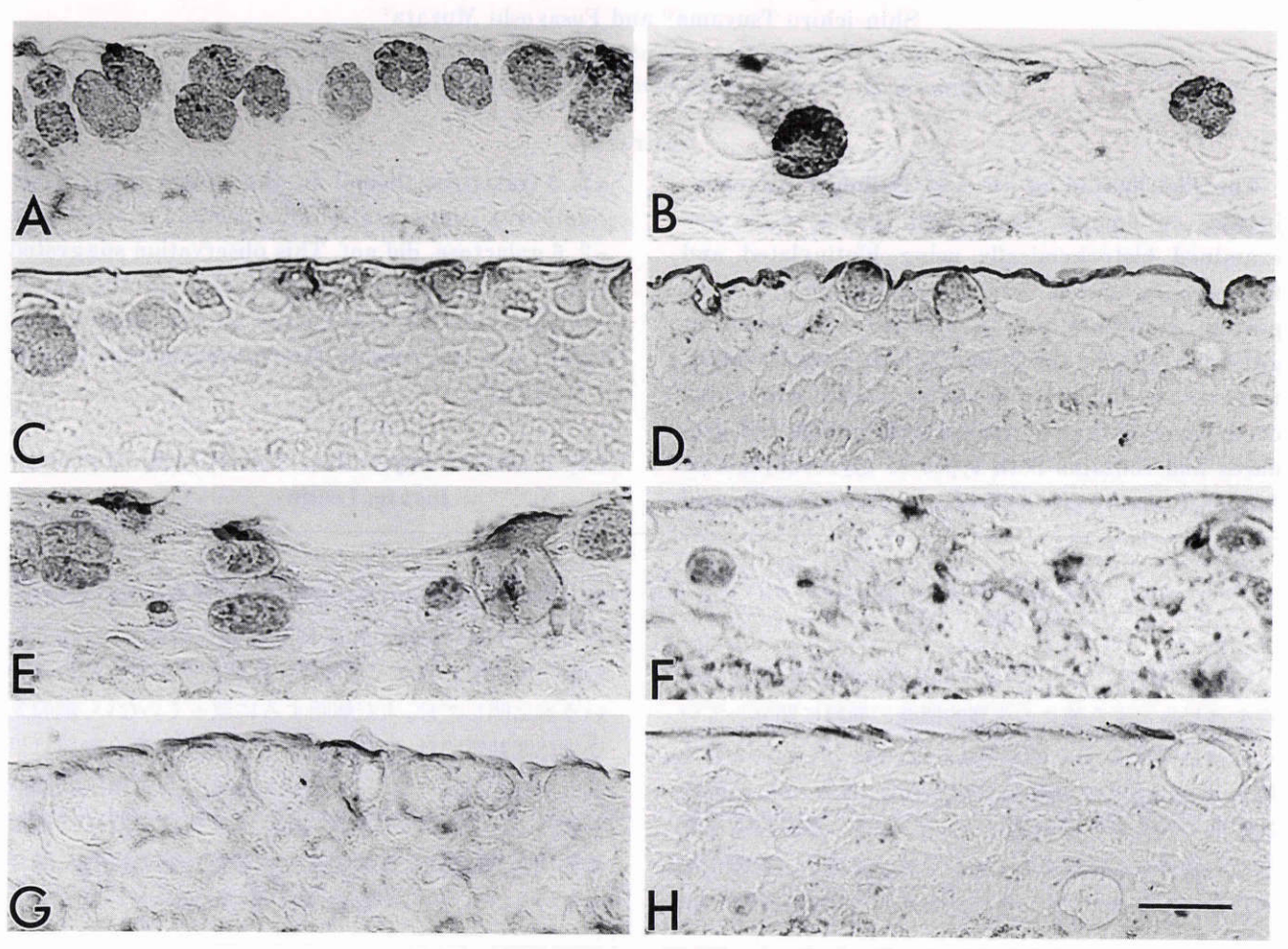


図1 ヒト結膜組織のビオチン標識レクチン染色像.

翼状片組織(A, C, E, G)の方が,白内障の手術で得られた結膜組織(B, D, F, H)よりも多くの杯細胞が分布している。Peanut agglutinin(A, B), $Erythrina\ cristagalli\ agglutinin<math>(C, D)$, $Maackia\ amurensis\ lectin\ II(E, F)$ が,それぞれ杯細胞内部に顆粒状に結合している。 $Sambucus\ nigra\ agglutinin\ は,杯細胞には結合していない<math>(G, H)$. バーは $40\ \mu m$

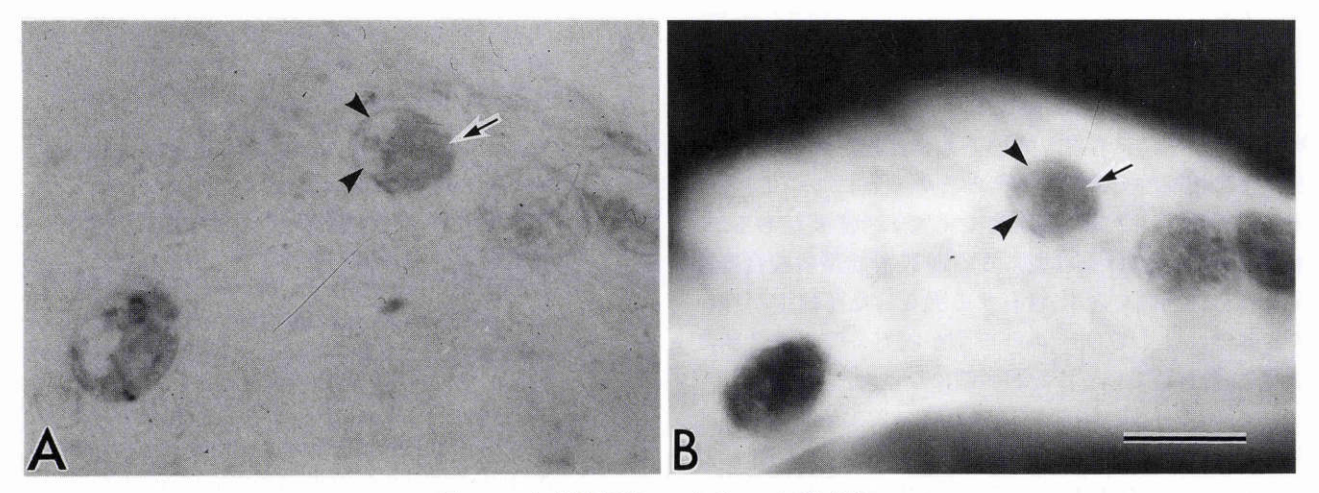


図2 ヒト結膜組織のレクチン二重染色像.

ビオチン標識 peanut agglutinin (PNA)染色 (A) した後,同一組織切片を螢光標識 Erythrina cristagalli agglutinin (ECA)染色 (B) している. 杯細胞内部の PNA が結合しなかった部位 (A, 矢じり) に, ECA が結合している (B, 矢じり). PNA が結合した部位 (A, 矢印) に対応する部分にはほとんど ECA は結合していない (B, 矢印). 螢光染色像では, グルタールアルデヒド固定による自発螢光が結膜上皮全体に観察される (B). バーは $40~\mu m$

を室温で1時間反応させた.この場合,最初にビオチン標 識 PNA で染色した組織切片には螢光標識 ECA を, ビ オチン標識 ECA で染色した切片には螢光標識 PNA を,それぞれ二重染色として反応させた。一方,ビオチン 標誠レクチン,あるいは螢光標識レクチンの単独染色も 実施した.これらのビオチン標識および螢光標識レクチ ンは、いずれも Vector 社製のものを用いた. PBS を用 いて洗浄した後、螢光顕微鏡で観察、写真撮影を行った。 次に,永久標本として封入処理した後,螢光写真撮影した 部位と同一部位を光学顕微鏡を用いて撮影し,両者の染 色像について比較,検討した.対照としては,それぞれの レクチン溶液に 0.2 M となるようにハプテン糖(PNA, ECA: D-ガラクトース: MALII: 3'-シアリルラクトー ス; SNA:6'-シアリルラクト-ス)を加えた溶液を反 応させ,ハプテン糖の存在下でレクチン結合の強さが減 弱している像が観察された場合,その部位を特異的レク チン結合部位と判定した。なお、結膜組織の採取は、術前 に了解を得た患者について行った.

III 結 果

翼状片と白内障の手術で得られた結膜組織の杯細胞の分布密度に関しては,統計学的には検討はしていないが, 顕微鏡の1視野当たりに観察される杯細胞の数は,一般 に前者の方が多い傾向がみられた.しかしながら,個々の 杯細胞のレクチン染色性に関しては,両者の間に明確な 差は検出されなかった.すなわち,すべての症例の結膜杯 細胞が下記の共通のレクチン染色像を示した.一方,下記 のレクチン染色の強さは,それぞれのハプテン糖の存在 下で減弱する像が観察されたことから,それぞれ特異的 に反応,結合したものと判定した.

図1に,翼状片と白内障の手術で得られた結膜組織の

杯細胞のビオチン標識レクチン単独染色像を示した。翼状片組織(図1A, C, E, G)の方に, 白内障の手術で得られた結膜組織(図1B, D, F, H)に比べて, より多くの杯細胞が分布している像が観察された。ビオチン標識 PNAは, 杯細胞内部に顆粒状に結合した(図1A, B)。ビオチン標識 ECA(図1C, D)とビオチン標識 MALII(図1E, F)も, 杯細胞内部に顆粒状に結合した。ビオチン標識 SNAは, 結膜表面に線状に結合したが, 杯細胞には結合しなかった(図1G, H)。

図2に,白内障の手術で得られた結膜組織をビオチン標識PNAで染色した後,螢光標識ECAを用いて二重染色した像を示した.杯細胞内部のビオチン標識PNAが結合しなかった部位(図2A,矢じり)に螢光標識ECAの染色像が観察された(図2B,矢じり).一方,ビオチン標識PNAが結合した部位(図2A,矢印)に対応する部分には,ほとんど螢光標識ECAは結合しなかった(図2B,矢印).すなわち,一般にビオチン標識PNAで染色されていない部分に二重染色によって螢光標識ECAが結合して,両者の結合分布は互いに相補的な位置関係にあるように見えた.螢光顕微鏡観察下では,グルタールアルデヒド固定によると考えられる結膜上皮全体の麦わら色の自発螢光が強かったが,螢光標識レクチンが結合した黄緑色の螢光とは明瞭に区別することが可能であった.

IV 考 按

ガラクトース β 1,3 N-アセチルガラクトサミン(O-結合型糖鎖)を認識するPNA50と、ガラクトース β 1,4 N-アセチルグルコサミン(N-結合型糖鎖)を認識するECA60が、ともに同一杯細胞の内部に結合したことから、O-結合型とN-結合型の糖鎖が一つの杯細胞内に共存することが判明した。しかしながら、両者は互いに相補的な

分布形態をとっているように見えたことから、一つの蛋白に O・結合型と N・結合型の両方の糖鎖が結合して存在しているというよりも、複数の O・結合型と N・結合型の複合糖質が別個に存在しているものと推定される。両者が完全に相補的であるかどうかという点については、今後、電子顕微鏡レベルで明らかにしていく必要があるが、本研究によって、O・結合型あるいは N・結合型の複合糖質をそれぞれ別個に産生、含有する異なった杯細胞が存在するのではなくて、同一の杯細胞が両方の型の複合糖質を産生、含有していることが明確になった。

次に、結膜杯細胞内部にシアル酸 α 2、3 ガラクトースを認識する MALIIⁿが結合したのに対し、シアル酸 α 2、6 ガラクトースを認識する SNA⁸は結合しなかったことから、ヒト結膜杯細胞の複合糖質の糖鎖末端のガラクトースに、シアル酸は α 2、3 結合していることが判明した。著者らは、ラットの結膜杯細胞には MALII だけでなく、SNA も結合する染色像を観察している(未発表データ)、結膜杯細胞内部の複合糖質糖鎖末端のシアル酸の結合様式は、種によって異なっていることが推定される。しかしながら、本研究から、同じヒト組織の場合、翼状片と正常結膜との間には、杯細胞内部の複合糖質糖鎖末端のシアル酸の結合様式の差はみられないことが明らかになった。

文 献

- 1) van Haeringen NJ: Clinical biochemistry of tears. Surv Ophthalmol 26: 84—96, 1981.
- 2) Kawano K, Uehara F, Sameshima M, Ohba N: Application of lectins for detection of goblet cell

- carbohydrates of human conjunctiva. Exp Eye Res 38: 439—447, 1984.
- 3) 上原文行, 鮫島宗文, 鵜木一彦, 内匠勝秀, 大庭紀雄: サル角膜・結膜上皮および結膜杯細胞のレクチン結 合性のノイラミニダーゼ処理による変化. 日眼会誌 92:1354—1358, 1988.
- 4) 上原文行:網膜複合糖質の分子細胞生物学的研究。 日眼会誌 97:1370-1393, 1993.
- 5) Lotan R, Skutelsky E, Danon D, Sharon N: The purification, composition, and specificity of the anti-T lectin from peanut (Arachis hypogaea).

 J Biol Chem 250: 8518—8523, 1975.
- 6) De Boeck H, Loontiens FG, Lis H, Sharon N: Binding of simple carbohydrates and some Nacetyllactosamine-containing oligosaccharides to Erythrina cristagalli agglutinin as followed with a fluorescent indicator ligand. Arch Biochem Biophys 234: 297—304, 1984.
- 7) Sata T, Lackie PM, Taatjes DJ, Peumans W, Roth J: Detection of the Neu5Ac (α2,3) Gal (β1, 4) GlcNAc sequence with the leukoagglutinin from *Maackia amurensis*: Light and electron microscopic demonstration of differential tissue expression of terminal sialic acid in α2,3- and α2, 6-linkage. J Histochem Cytochem 37: 1577—1588, 1989.
- 8) Shibuya N, Goldstein IJ, Broekaert WF, Nsimba-Lubaki M, Peeters B, Peumans WJ: The elderberry (Sambucus nigra L.) bark lectin recognizes the Neu5Ac (α2-6) Gal/GalNAc sequence. J Biol Chem 262: 1596—1601, 1987.